

## บทที่ 8

### แหล่งพลังงานและธาตุคาร์บอนในกาหหมัก

#### 8.1 คำนำ

ทั้งใจ โปรโตซัวและแบคทีเรียใหญ่เป็นพวกฮิโรโทรฟิก(heterotrophic) ได้รับธาตุคาร์บอนจากสารอินทรีย์ ส่วนโปรคิสต์ที่เหลืออยู่ประกอบด้วยสาหร่ายและแบคทีเรียบางหมู่ซึ่งได้รับธาตุคาร์บอนจากคาร์บอนไดออกไซด์และถูกเรียกว่าพวกออโตโทรฟิก (autotrophic) สิ่งมีชีวิตต้องการแหล่งพลังงานเพื่อสังเคราะห์สารเซลล์สำหรับการเจริญเติบโตและสำหรับการทำนุบำรุง การจัดแบ่งหมวดหมู่ของสิ่งมีชีวิตตามความต้องการพลังงานและธาตุคาร์บอนโดย Stanier และคณะ (1963) ได้แสดงไว้ในตารางที่ 8.1 ความต้องการพลังงานแสงของโปรคิสต์ที่สังเคราะห์แสง(photosynthetic protists) ไม่ได้นำมาพิจารณาในที่นี้

ตารางที่ 8.1 Classification of energy sources and electron donors and acceptors for protists

Type of organism	Energy source	Electron acceptors in energy-yielding process	Electron donors in energy-yielding process or for CO <sub>2</sub> reduction
Photolithotrophic	light	—	water, reduced sulphur compounds
Photoorganotrophic	light	—	organic compounds
Chemolithotrophic	oxidation-reduction	oxygen, carbon dioxide	inorganic (hydrogen, reduced sulphur, reduced nitrogen, ferrous ions)
Chemoorganotrophic	oxidation-reduction	oxygen, nitrate, sulphate, organic compounds	organic compounds

ออกซิเจนเป็นสารออกซิแดนท์ (oxidant) ซึ่งสามัญที่สุดอย่างหนึ่งในขบวนการเมตาโบลิซึมเพื่อให้ได้พลังงาน แต่ในสภาพที่ขาดออกซิเจนแบคทีเรียบางชนิดก็สามารถใช้ในเครทหรือซัลเฟตไอออนเป็นสิ่งรับอิเล็กตรอนได้ พวก Chemolithotroph

มีการออกซิโดซีสารอนินทรีย์ในโคโรเจนและกำมะถันซึ่งอยู่ในรูปรีดิวซ์หรือเฟอร์รัสไอออนหรือไฮโดรเจนเพื่อให้ได้รับพลังงานภายใต้สภาวะที่มีแก๊สออกซิเจน ส่วนพวก methanogenic bacteria เป็นพวก anaerobic autotroph ซึ่งใช้ไฮโดรเจนในการรีดิวซ์คาร์บอนไดออกไซด์ทำให้เกิดแก๊สมีเทนและได้รับพลังงาน สำหรับโปรคิสต์พวกอื่นโดยเฉพาะในหมู่ของแบคทีเรียและยีสต์ได้รับพลังงานภายใต้สภาวะที่ปราศจากแก๊สออกซิเจนโดยปฏิกิริยาออกซิเดชันรีดักชันของสารอินทรีย์ ขบวนการเช่นนี้ถูกเรียกตามทฤษฎีว่าขบวนการหมัก (fermentation) ซึ่งแตกต่างจากความหมายของขบวนการหมักในเชิงปฏิบัติและอุตสาหกรรม

ความต้องการแหล่งพลังงานและธาตุคาร์บอนในปริมาณที่แน่นอนจำเป็นต่อทราบถึงค่า  $K_s$  และพืชผลหรือประสิทธิภาพในการเจริญเติบโต (growth yield) จากขั้วสเตรคคาร์วางที่ 3.1 แสดงว่าค่า  $K_s$  สำหรับคาร์บอนและแหล่งพลังงานจะอยู่ที่ประมาณ  $10^{-5}$  M ซึ่งสูงที่สุดสำหรับสารอาหารต่าง ๆ ค่า  $K_s$  สำหรับฟอสเฟต โปแตสเซียม หรือแมกนีเซียมไอออนเท่านั้นที่อยู่ในระดับเดียวกัน

ค่าซึ่ง เป็นตัวแทนสำหรับพืชผลหรือประสิทธิภาพในการเจริญเติบโตทั้งหมดจากแหล่งธาตุคาร์บอนและพลังงานถูกให้ไว้ในตารางที่ 8.2 พืชผลหรือประสิทธิภาพทั้งหมดนี้หมายถึงความต้องการสำหรับเซลล์คาร์บอน พลังงานเพื่อการเจริญเติบโตและพลังงานเพื่อการห่านำรุง จะเห็นได้ว่าพืชผลหรือประสิทธิภาพทั้งหมดบนพื้นฐานของธาตุคาร์บอนนั้นค่อนข้างคงที่คือเปลี่ยนแปลงไปตั้งแต่ 0.09 ถึง 1.34 เท่านั้น ดังนั้นจึงมีค่าที่ทำนายได้บางส่วนสำหรับพืชผลหรือประสิทธิภาพในการเจริญเติบโต

พลังงานในขั้นสุดท้ายจะถูกจัดเตรียมให้อยู่ในรูปของ ATP ดังนั้นจึงมักถือว่า ATP เป็นกระแสเงินตราสำหรับพลังงานของเซลล์ซึ่งถูกใช้เพื่อทำให้เกิดขบวนการทุกอย่างที่ต้องการพลังงาน

ตารางที่ 8.2 Overall growth yields from various carbon and energy sources

Organism	Substrate	Maximum observed growth yield (g dry weight/g)		
		Substrate	Substrate carbon	Oxygen used
<i>Candida utilis</i> <sup>[1]</sup>	glucose	0.51	1.28	1.30
<i>Penicillium chrysogenum</i> <sup>[2]</sup>	glucose	0.43	1.08	1.35
<i>Aerobacter cloacae</i> <sup>[3]</sup>	glucose	0.44	1.10	1.03
<i>Candida utilis</i> <sup>[1]</sup>	acetic acid	0.36	0.90	0.62
<i>Candida utilis</i> <sup>[1]</sup>	ethanol	0.68	1.30	0.58
<i>Pseudomonas</i> sp. <sup>[5]</sup>	methanol	0.41	1.09	0.44
Bacterial sp. <sup>[6]</sup>	<i>n</i> -pentane	0.84	1.01	0.44
<i>Candida intermedia</i> <sup>[1]</sup>	<i>n</i> -alkanes (C <sub>16</sub> -C <sub>22</sub> )	0.81	0.96	0.35
<i>Methylococcus</i> sp. <sup>[4]</sup>	methane	1.01	1.34	0.29

<sup>[1]</sup>Johnson (1967a), <sup>[2]</sup>Pirt & Callow (1960), <sup>[3]</sup>Pirt (1957), <sup>[4]</sup>Harwood & Pirt (1972),  
<sup>[5]</sup>Harrison *et al.* (1972), <sup>[6]</sup>Takahashi *et al.* (1970)

## 8.2 การใชัธาตุคาร์บอน

เมื่อซึบสเตรทอย่างหนึ่งทำหน้าที่เป็นทั้งแหล่งของธาตุคาร์บอนและพลังงานสำหรับสิ่งมีชีวิต การตรวจสอบอย่างแน่นอนว่าที่ส่วนของสารประกอบคาร์บอนนั้นถูกใช้ไปเป็นองค์ประกอบของเซลล์หรือร่างกาย (assimilation) และที่ส่วนถูกทำลายไป (dissimilation) เพื่อให้ได้รับพลังงานนั้นเป็นเรื่องซึ่งยุ่งยากมากอย่างไรก็ตามการตรวจสอบก็สามารถทำได้โดยวิธีใดวิธีหนึ่งหรือหลายวิธีในสี่วิธีการดังต่อไปนี้

วิธีการแรกตั้งอยู่บนพื้นฐานของการติดป้ายหรือเครื่องหมาย (label) ของซึบสเตรทคาร์บอนด้วย <sup>14</sup>C แล้วตรวจสอบปริมาณของเครื่องหมายที่ปรากฏอยู่ในเซลล์คาร์บอน วิธีการนี้ถูกใช้กับ *Streptococcus faecalis* โดย Bauchop & Eidsen (1960) และกับยีสต์โดย Kormancikova และคณะ (1969)

ในวิธีการที่สองคาร์บอนซึบสเตรทที่ถูกใช้ไปเป็นองค์ประกอบของเซลล์ถูกตรวจสอบจากความสมดุล คือ

$$\begin{array}{l} \text{total substrate} = \text{substrate utilized to} + \text{substrate utilized to} \\ \text{utilized} \qquad \qquad \text{provide cell carbon} \qquad \qquad \text{provide energy} \\ (\Delta S) \qquad \qquad \qquad (\Delta S_c) \qquad \qquad \qquad (\Delta S_E) \end{array} \quad 8.1$$

ถ้าหารความสมมูลของซับสเตรตด้วย  $\Delta x$  ซึ่ง เป็นปริมาณของชีวมวลที่เกิดขึ้นจะได้ว่า

$$\Delta S/\Delta x = \Delta S_c/\Delta x + \Delta S_E/\Delta x \quad 8.2$$

จึงอาจเขียนได้ว่า

$$1/Y = 1/Y_c + 1/Y_E \quad 8.3$$

ถ้า  $\beta$  คือสัดส่วนของชีวมวลที่เป็นธาตุคาร์บอนและ  $\gamma$  คือสัดส่วนของซับสเตรตที่เป็นธาตุคาร์บอนจะได้ว่า

$$\beta Y_c = \gamma \quad 8.4$$

ใช้สมการที่ 8.4 เพื่อแทนค่าสำหรับ  $Y_c$  ในสมการที่ 8.3 แล้วจัดเรียงเสียใหม่จะได้ว่า

$$Y_E = \gamma Y / (\gamma - \beta Y) \quad 8.5$$

วิธีการนี้ถูกใช้โดย Stouthamer & Bettenhausen (1973)

วิธีการที่สามถูกใช้สำหรับขบวนการซึ่งใช้แก๊สออกซิเจนเพื่อตรวจสอบค่าจากปริมาณสัมพันธ์ (Stoichiometry) ของการใช้แก๊สออกซิเจนและการใช้ซับสเตรตเพื่อให้ได้ปริมาณพลังงาน วิธีการนี้ถือว่าออกซิเจนทั้งหมดถูกใช้เป็นสารรับอิเล็กตรอนในขั้นสุดท้ายของขบวนการสร้างพลังงาน (Hernandez & Johnson, 1967) การถือเช่นนี้อาจใช้ได้ไม่เสมอไปเนื่องจากในบางขบวนการออกซิเจนก็ไม่ได้ถูกใช้ในการรีดิวส์อย่างง่าย ๆ แต่ถูกใช้ร่วมเข้าไปเป็นส่วนหนึ่งในสารประกอบคาร์บอนโดยเอนไซม์ออกซิเจนเนส (Oxygenase) ตัวอย่าง เช่นหนึ่งอะตอมของออกซิเจนต่อหนึ่งโมเลกุลของ n-paraffin ซึ่งสามารถทำให้ n-paraffin แตกตัวออกได้โดยการแทรกเข้าไปของออกซิเจนอะตอม

วิธีการที่สี่อาจถูกใช้เพื่อวัดปริมาณของซับสเตรตที่ถูกทำลายในการทำให้เกิดพลังงานโดยการวัดปริมาณของผลิตภัณฑ์สุดท้ายในขบวนการเมตาโบลิซึมพลังงาน ตัวอย่าง เช่นการ เกิดกรดแลคติกจากน้ำตาลกลูโคสในขบวนการหมักกรดแลคติก อีทานอลจากน้ำตาลกลูโคสในขบวนการหมักของยีสต์ และการเกิดกรดอะซิติกจากอีทานอลโดย

อะซิติลโคเอเอซิคแมกที่เรียบ การเปรียบเทียบอัตราส่วนของแหล่งพลังงานและธาตุคาร์บอนที่ถูกใช้ เป็นองค์ประกอบของ เซลล์และถูกทำลายไปเพื่อให้ได้พลังงานใต้นสคงไว้ใน ตารางที่ 8.3

ตารางที่ 8.3 Assimilated and dissimilated carbon and energy substrate

Organism	Conditions	Glucose carbon assimilated (%)	Glucose dissimilated to provide energy (%)
<i>Streptococcus faecalis</i> <sup>(1)</sup>	Rich medium, anaerobic	2	98
<i>Saccharomyces cerevisiae</i> <sup>(2)</sup>	Rich medium, anaerobic	2	98
<i>Saccharomyces cerevisiae</i> <sup>(2)</sup>	Rich medium, aerobic	10	90
<i>Aerobacter cloacae</i> <sup>(3)</sup>	Minimal medium, aerobic	55	45

<sup>(1)</sup>Bauchop & Elsdon (1960), <sup>(2)</sup>Kormančičková *et al.* (1969), <sup>(3)</sup>Pirt (unpublished)

### 8.3 พลังงานเพื่อการทำนุบำรุง (MAINTENANCE ENERGY)

#### 8.3.1 คำจำกัดความ

ถ้ามีสมมุติฐานมานานแล้วว่าจุลินทรีย์และเซลล์มีความต้องการพลังงานทั้งเพื่อการเจริญเติบโตและเพื่อที่เรียกกันว่าการทำนุบำรุง หน้าที่เกี่ยวกับการทำนุบำรุงเฉพาะที่ยอมรับกันคือ การถ่ายเทโยคย้ายเปลี่ยนแปลงสารเซลล์ งานเกี่ยวกับออสโมซิสเพื่อรักษาไว้ซึ่งความแตกต่างของความเข้มข้นระหว่างในเซลล์และนอกเซลล์ และการเคลื่อนไหวควยตนเองของเซลล์

พลังงานที่ใช้เพื่อการทำนุบำรุงถูกกำหนดไว้ในวิธีทางดังต่อไปนี้ แหล่งพลังงานทั้งหมดที่ใช้ ( $\Delta S_E$ ) ถูกปันส่วนโดยสมมุติเป็นพลังงานเพื่อการเจริญเติบโต ( $\Delta S_G$ ) และพลังงานเพื่อการทำนุบำรุง ( $\Delta S_M$ ) นอกจากนี้ ATP ยังอาจถูกทำให้เกิดขึ้นหรือสูญเสียไปได้โดยการไฮโดรไลซิสที่ไม่ควบคุมกับการเจริญเติบโตหรือการทำหน้าที่เกี่ยวกับการทำนุบำรุง การสูญเสีย ATP เช่นนี้ปกติก็ไม่อาจแบ่งแยกให้แตกต่างไปได้จากพลังงานเพื่อการทำนุบำรุง

จึงเขียนเป็นสมการได้ว่า

$$Y_E = \Delta x / \Delta S_E = \Delta x / (\Delta S_G + \Delta S_M) \quad 8.6$$

$\Delta x$  คือจำนวนหรือปริมาณของชีวมวลที่เกิดขึ้น เมื่อพลังงานเพื่อการทำนุบำรุงเป็นศูนย์ คือ  $\Delta S_M = 0$  จะได้พีชคณิตหรือประสิทธิภาพในการเจริญเติบโตที่แท้จริงซึ่งถูกกำหนดโดยสมการ

$$Y_{EG} = \Delta x / \Delta S_G \quad 8.7$$

สิ่งนี้คือค่าสูงสุดที่อาจเป็นไปได้สำหรับพีชคณิตหรือประสิทธิภาพในการเจริญเติบโตจากแหล่งพลังงาน สมมุติว่ามีชีวมวลจำนวนหนึ่งซึ่งกำหนดให้คือ  $x$  แหล่งพลังงานที่ถูกใช้ไปด้วยอัตราความเร็วคงที่เพื่อการทำนุบำรุงถูกกำหนดให้โดย  $(ds/dt)_m = mx$  ซึ่ง  $m$  คือค่าคงที่เรียกว่าสัมประสิทธิ์การทำนุบำรุง (maintenance coefficient) ความสมมูลสำหรับแหล่งพลังงานที่ใช้ถูกกำหนดให้โดย

$$\begin{array}{l} \text{total rate of} \\ \text{consumption} \end{array} = \begin{array}{l} \text{rate of consumption} \\ \text{for growth} \end{array} + \begin{array}{l} \text{rate of consumption} \\ \text{for maintenance} \end{array}$$

นั่นก็คือ

$$\mu x / Y_E = \mu x / Y_{EG} + mx \quad 8.8$$

ดังนั้น

$$1 / Y_E = 1 / Y_{EG} + m / \mu \quad 8.9$$

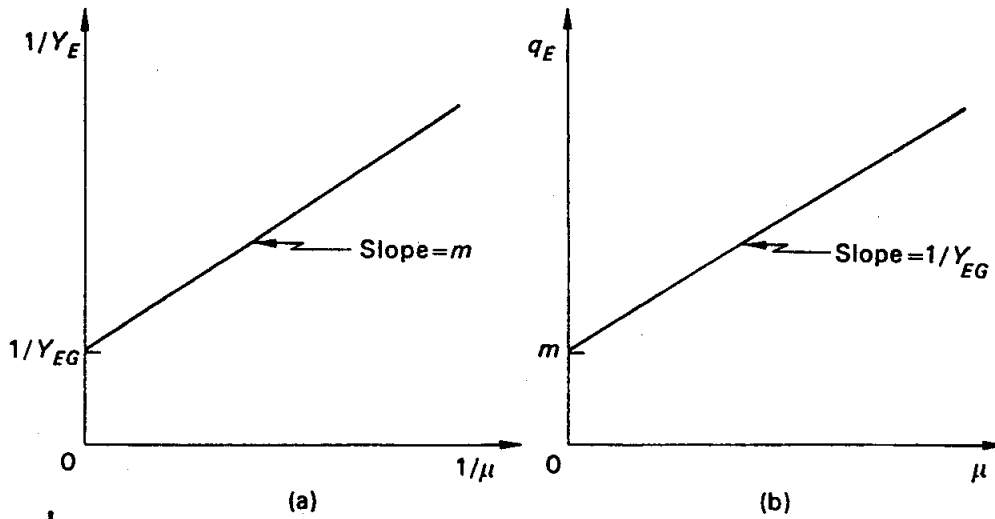
ในอีกทางหนึ่งยังอาจเขียนได้ว่า

$$q_E x = \mu x / Y_{EG} + mx \quad 8.10$$

ซึ่ง  $q_E$  คืออัตราการเมตาโบลิซึมสำหรับแหล่งพลังงาน ดังนั้น

$$q_E = \mu / Y_{EG} + m \quad 8.11$$

จากสมการที่ 8.9 จึงเป็นไปได้ว่าถ้า  $m$  คงที่ เสนกกราฟความสัมพันธ์ระหว่างค่าของ  $1 / Y_E$  กับ  $1 / \mu$  (รูปที่ 8.1 a) จะเป็นเส้นตรงด้วยความลาดเอียง  $m$  และมีจุดตัดที่  $1 / Y_{EG}$  บนแกนตั้ง ในอีกทางหนึ่ง  $m$  อาจถูกตรวจสอบได้จากการเขียนเสนกกราฟความสัมพันธ์ระหว่างค่าของ  $q_E$  กับ  $\mu$  ดังรูปที่ 8.1b



รูปที่ 8.1 Graphical methods for the calculation of the maintenance coefficient ( $m$ ) and the maximum growth yield ( $1/Y_{EG}$ ) from plots of Eqn 8.10 and 8.12.

จากการสังเกตโดยทั่วไปพบว่า  $1/Y_E$  และ  $1/\mu$  มีความสัมพันธ์กันแบบเส้นตรงเมื่ออัตราความเร็วในการเจริญเติบโตเฉพาะถูกทำให้เปลี่ยนแปลงไปในการหมักแบบคงที่ทางเคมี (Stouthamer & Betthausen 1973) เส้นกราฟของสมการที่ 8.9 ได้ถูกสร้างขึ้นเป็นครั้งแรกโดย Pirt (1965) ที่ขยผลหรือประสิทธิภาพในการเจริญเติบโตรวมทั้งแหล่งธาตุคาร์บอนส่วนที่ถูกใช้เพื่อเปลี่ยนแปลงให้เป็นองค์ประกอบของเซลล์ (assimilated carbon source) ก็คือเศษส่วนกลับของที่ขยผลการเจริญเติบโตที่เป็น  $1/Y_E + 1/Y_c$  ในสมการที่ 8.3 อย่างไรก็ตามสิ่งนี้ไม่มีผลต่อการหาค่า  $m$

### 8.3.2 การทำนุบำรุงในแง่ซึ่งทำให้ชีวมวลหมักเปลี่ยนแปลงไป

การให้เหตุผลสำหรับที่ขยผลหรือประสิทธิภาพในการเจริญเติบโตจากแหล่งพลังงานซึ่งมักลดลงตามอัตราความเร็วในการเจริญเติบโต Herbert (1958) และ Marr กับคณะ (1963) ได้เสนอค่าความต้องการพลังงานเพื่อการทำนุบำรุงเป็นการหมักเปลี่ยนแปลงของชีวมวลโดยการเมตาโบลิซึมภายใน ดังนั้นจึงได้ว่า

$$\text{net growth} = \text{total growth} - \text{biomass consumed endogenously}$$

นั่นก็คือ

$$dx = \mu_T x \cdot dt - ax \cdot dt \quad 8.12$$

ซึ่ง  $\mu_T$  คืออัตราการความเร็วในการเจริญเติบโตเฉพาะทั้งหมด และ  $a$  คือสิ่งที่เรียกกันว่า อัตราความเร็วในการทำนุบำรุงเฉพาะ (Specific maintenance rate) จากสมการที่ 8.12 จะเปลี่ยนรูปได้ว่า

$$dx/dt = (\mu_T - a)x \quad 8.13$$

อัตราการความเร็วในการเจริญเติบโตเฉพาะที่ปรากฏถูกกำหนดได้โดย

$$\mu = \mu_T - a \quad 8.14$$

สำหรับความสัมพันธ์ของแหล่งพลังงานจะได้ว่า

$$\frac{\mu x \cdot dt}{Y_E} = \frac{\mu_T x \cdot dt}{Y_{EG}} \quad 8.15$$

แทนค่า  $\mu_T$  ในสมการที่ 8.15 จะได้ว่า

$$1/Y_E = 1/Y_{EG} + a/\mu Y_{EG} \quad 8.16$$

เปรียบเทียบสมการที่ 8.9 และ 8.16 จะเห็นว่า

$$m = a/Y_{EG} \quad 8.17$$

อัตราการความเร็วในการทำนุบำรุงเฉพาะคือ  $a$  อาจถูกถือได้อีกอย่างหนึ่งว่าเป็นอัตราการความเร็วในการถ่ายเทโยกย้ายเปลี่ยนแปลง (turnover rate) ของชีวมวลและมีประโยชน์ในการเปรียบเทียบอัตราการความเร็วในการถ่ายเทโยกย้ายเปลี่ยนแปลงองค์ประกอบของชีวมวลกับความต้องการพลังงานเพื่อการทำนุบำรุง

### 8.3.3 ความสำคัญและการควบคุมพลังงานเพื่อการทำนุบำรุง

ตารางที่ 8.4 แสดงค่าสัมประสิทธิ์ของพลังงานเพื่อการทำนุบำรุงสำหรับโปรคิสต์ภายใต้สภาวะต่าง ๆ ซึ่งมีช่วงตั้งแต่ 0.5 (mmol ATP. g dry biomass<sup>-1</sup>h<sup>-1</sup>) สำหรับยีสต์โคกไม่มีการเคมีโซเคียมคลอไรด์จนถึง 220 (mmol ATP g dry biomass<sup>-1</sup>h<sup>-1</sup>) สำหรับ *Azotobacter* ที่ครึ่งไนโตรเจนภายใต้สภาวะซึ่งมีออกซิเจนละลายอยู่มาก ความเครียดสูง (high dissolved oxygen tension) เป็นที่แน่ชัดแล้วว่าพลังงานเพื่อการทำนุบำรุงอาจเป็นพลังงานส่วนใหญ่ของพลังงานทั้งหมดที่ใช้ Stouthamer และ



Bettenhausen (1973) ได้ตรวจสอบว่าเมื่อ Klebsiella aerogenes เจริญเติบโตในสภาพที่ปราศจากออกซิเจนด้วยน้ำตาลกลูโคสเป็นแหล่งพลังงานที่อัตราความเร็วในการเจริญเติบโตเฉพาะเป็น  $0.1 \text{ h}^{-1}$  พลังงานเพื่อการห่านุบำรุงจะสูงถึง 90% ของแหล่งพลังงานทั้งหมดที่ใช้ ค่าของ  $m$  สำหรับ K. aerogenes ที่พบโดย Stouthamer และ Bettenhausen จะเป็นประมาณ 3 หรือ 4 เท่าของที่ได้เคยถูกรายงานมาก่อนสำหรับจุลินทรีย์นี้ (Pirt, 1965) ความแตกต่างเช่นนี้อาจเป็นผลเนื่องมาจากมีแหล่งพลังงานซึ่งมากเกินพอในเชื้อจุลินทรีย์ที่ศึกษาโดย Stouthamer แต่ในเชื้อจุลินทรีย์ที่ศึกษามาก่อนมีแหล่งพลังงานเป็นสิ่งที่กำหนดจำกัดการเจริญเติบโต

ผลงานของ Watson (1970) และของ Stouthamer กับ Bettenhausen (1973) ได้ให้ไว้ในตารางที่ 8.4 แสดงว่าความแข็งไอออน (ionic strength) ของสื่อกลางอาหารมีความสำคัญเป็นอย่างมากต่อการใช้พลังงานเพื่อการห่านุบำรุง

Watson พบว่าการเติมโซเดียมคลอไรด์ (1.0M) ลงในสื่อกลางอาหาร ทำให้  $m_{\text{ATP}}$  เพิ่มขึ้นถึงสี่เท่าและยังมีผลต่อเส้นทางการเมตาโบลิซึมซึ่งลดปริมาณการผลิต ATP จากน้ำตาลกลูโคสลงด้วย Stouthamer และ Bettenhausen พบว่าการเพิ่มความเข้มข้นของ  $\text{NH}_4\text{Cl}$  จาก 0.2% เป็น 0.4% ทำให้  $m_{\text{ATP}}$  เพิ่มขึ้นอีก 11 ( $\text{mmol ATP} \cdot \text{g dry biomass}^{-1} \text{h}^{-1}$ ) จากการสังเกตแสดงว่าส่วนใหญ่ของพลังงานเพื่อการห่านุบำรุงถูกใช้ไปเกี่ยวกับงานการออสโมซิสเพื่อรักษาไว้ในความเข้มข้นแตกต่างกันระหว่างภายในกับภายนอกเซลล์

ผลของอุณหภูมิและพีเอชต่อความต้องการพลังงานเพื่อการห่านุบำรุงยังไม่ได้ถูกตรวจสอบอย่างเป็นระบบ จากการศึกษาของ Harrison และ Loveless (1971 a) พบว่าพีเอชหรือประสิทธิภาพในการเจริญเติบโตจากน้ำตาลกลูโคสสำหรับ Escherichia coli ในช่วงอุณหภูมิตั้งแต่ 15 ถึง 36 องศาเซลเซียสนั้นคงที่จึงแสดงว่า  $m$  อาจได้รับผลจากอุณหภูมิเพียงเล็กน้อย แต่พีเอชมีผลต่อพีเอชหรือประสิทธิภาพในการเจริญเติบโตจากกลูโคสอย่างเห็นได้ชัด การลดลงของพีเอชจาก 6.6 ถึง 5.4 มีผลทำให้  $q_{\text{O}_2}$  เพิ่มขึ้น ซึ่งก็เกี่ยวข้องเนื่องกับการเพิ่มขึ้นของ  $m_{\text{ATP}}$

ตารางที่ 8.4 Some values of maintenance energy requirements of protists with glucose as the energy source

Organism	Special growth conditions	Maintenance energy	
		$m$ (g energy source/ g dry biomass . h)	$m_{ATP}$ (mmol ATP/ g dry biomass . h)
<i>Lactobacillus casei</i> <sup>[1]</sup>		0.135†	1.5
<i>Aerobacter cloacae</i> <sup>[2]</sup>	aerobic, glucose-limited	0.094	14*
<i>Klebsiella aerogenes</i> <sup>[3]</sup>	anaerobic, tryptophan-limited NH <sub>4</sub> Cl (2 g/l)	2.88	39
<i>Klebsiella aerogenes</i> <sup>[3]</sup>	anaerobic, tryptophan-limited NH <sub>4</sub> Cl (4 g/l)	3.69	50
<i>Saccharomyces cerevisiae</i> <sup>[4]</sup>	anaerobic	0.036	0.52
<i>Saccharomyces cerevisiae</i> <sup>[4]</sup>	anaerobic NaCl (1.0 M)	0.360	2.2
<i>Penicillium chrysogenum</i> <sup>[5]</sup>	aerobic	0.022	3.2*
<i>Azotobacter vinelandii</i> <sup>[6]</sup>	Fixing nitrogen, dissolved oxygen tension (0.2 atm)	1.5*	220*
<i>Azotobacter vinelandii</i> <sup>[6]</sup>	Fixing nitrogen, dissolved oxygen tension (0.02 atm)	0.15*	22*

\* Assuming 26 moles ATP produced/mole glucose, i.e. P/O = 2

† Assuming 1 mole glucose produces 2 moles ATP

<sup>[1]</sup>De Vries *et al.* (1970), <sup>[2]</sup>Pirt (1965), <sup>[3]</sup>Stouthamer & Bettenhausen (1973), <sup>[4]</sup>Watson (1970), <sup>[5]</sup>Righelato *et al.* (1968), <sup>[6]</sup>Nagai & Aiba (1972)

พลังงานที่ใช้เพื่อการโยกย้ายถ่ายเทเปลี่ยนแปลงสาร เซลล์อาจถูกตรวจสอบได้โดยเปรียบเทียบอัตราการความเร็วในการถ่ายเทเปลี่ยนแปลงซึ่งทราบค่าแล้วกับอัตราการความเร็วในการทำนุบำรุงเฉพาะ อัตราความเร็วในการโยกย้ายถ่ายเทเปลี่ยนแปลงโปรตีนสำหรับแบคทีเรียที่กล่าวถึง เจริญเติบโตถูกตรวจสอบได้เป็น  $0.006 \text{ h}^{-1}$  (0.6%/h) แต่จะเพิ่มสูงขึ้นเป็นสิบเท่าเมื่อการเจริญเติบโตหยุดลง (Mandelstam, 1960) เมื่อถือว่าชีวมวลมีโปรตีน 60% อัตราความเร็วในการถ่ายเทเปลี่ยนแปลงโปรตีนในเซลล์ที่กำลังเจริญเติบโตจะสอดคล้องกันกับอัตราการความเร็วในการถ่ายเทเปลี่ยนแปลงชีวมวล คือ  $0.6 \times 0.006 \text{ h}^{-1}$  เท่ากับ  $0.0036 \text{ h}^{-1}$  ในแง่ที่ต่างออกไปเนื่องจากอัตราการความเร็วในการทำนุบำรุงเฉพาะสำหรับ *E. coli* มีประมาณ  $0.06 \text{ h}^{-1}$  ดังนั้นการถ่ายเทเปลี่ยนแปลงโปรตีนจึงไม่อาจถือได้ว่าเป็นส่วนซึ่งมีความสำคัญสำหรับพลังงานเพื่อการทำนุบำรุงในเซลล์ที่กำลังเจริญเติบโต อัตราความเร็วในการถ่ายเทเปลี่ยนแปลงโปรตีนของ *E. coli* ในสภาวะที่ไม่มีการเจริญเติบโต (6% h) ก็สอดคล้องกันกับอัตราการความเร็วในการทำนุบำรุงเฉพาะคือ  $0.036 \text{ h}^{-1}$  Brooks และ Merrs (1973) ได้สังเกตเห็นว่าเมื่อขับสเตรทพลังงานเป็นสิ่งกำหนดจากกิจกรรมเจริญเติบโต ถ้าหยุดในแหล่งพลังงานจะทำให้ลดลง ปรากฏการณ์เช่นนี้อาจเป็นผลเนื่องมาจากโปรตีนมีการถ่ายเทเปลี่ยนแปลงมากขึ้นในขณะที่การเจริญเติบโตหยุดลง ส่วนประกอบส่วนใหญ่อีกอย่างหนึ่งของเซลล์ซึ่งมีการถ่ายเทเปลี่ยนแปลงมาก คือ RNA แต่ปริมาณในเซลล์ที่กำลังเจริญเติบโต (<0.5%/h) ถูกถือว่าเป็นเพียงส่วนน้อยของพลังงานเพื่อการทำนุบำรุง (Mandelstam, 1960) ในแบคทีเรียบางชนิดการถ่ายเทเปลี่ยนแปลงสารที่เป็นองค์ประกอบของผนัง เซลล์อาจถูกถือว่าเป็นส่วนใหญ่ของพลังงานเพื่อการทำนุบำรุงในระหว่างการเจริญเติบโต

สปีชีส์ต่าง ๆ ของ *Azotobacter* มักถูกกล่าวถึงเป็นเชิงยกเว้นในแง่ซึ่งมีค่า  $q_{O_2}$  สูง จากงานทดลองต่าง ๆ ในปัจจุบันก็แสดงให้เห็นว่าค่ายกเว้นที่สูงนี้เกิดขึ้นเฉพาะเมื่อแบคทีเรียนี้กำลังตรึงไนโตรเจนในสภาพซึ่งมีออกซิเจนละลายอยู่ด้วยความเค็วคสูง เนื่องจากพลังงานเพื่อการทำนุบำรุง เป็นสัดส่วนโดยตรงต่อความเค็วคออกซิเจนที่ละลายอยู่ (Nagai และ Aiba, 1972) จึงอาจหมายความว่าเซลล์มีการกำจัดออกซิเจนที่สามารถยับยั้งระบบเอนไซม์ไนโตรจีเนสซึ่งต้องการสภาพรีดิวซ์สูง

จากที่กล่าวมาข้างต้นดูเหมือนว่าพลังงานเพื่อการห่านุบำรุง เป็นพลังงาน ส่วนใหญ่ที่กองการสำหรับพวกโปรคีส์ท อย่างไรก็ตามมีการเปลี่ยนแปลง เป็นอย่างมาก สำหรับพลังงานเพื่อการห่านุบำรุงและปัจจัยต่าง ๆ ที่ควบคุมเซลล์จึงต้องมีการศึกษาต่อไป ใหม่มากขึ้น

#### 8.4 ผลกระทบเนื่องจากพลังงานเพื่อการห่านุบำรุง

##### 8.4.1 ผลต่อความสัมพันธ์ระหว่างอัตราความเร็วในการเจริญเติบโตกับความ เชนขนของซิปสเตรคพลังงาน

ความต้องการพลังงานเพื่อการห่านุบำรุงของ เซลล์จะมีผลต่อความสัมพันธ์ ระหว่างอัตราความเร็วในการเจริญเติบโตกับความ เชนขนของซิปสเตรคพลังงานจาก สมการที่ 8.11 และ 2.20 จะได้ว่า

$$q_E = \mu/Y_{EG} + m = q_m s/(s + K_s) \quad 8.18$$

ดังนั้น

$$\mu = \mu_m s/(s + K_s) - m Y_{EG} \quad 8.19$$

ซึ่ง  $\mu_m = q_m Y_{EG}$  เมื่อ  $s \gg K_s$

$$\mu = \mu_m - m Y_{EG} \quad 8.20$$

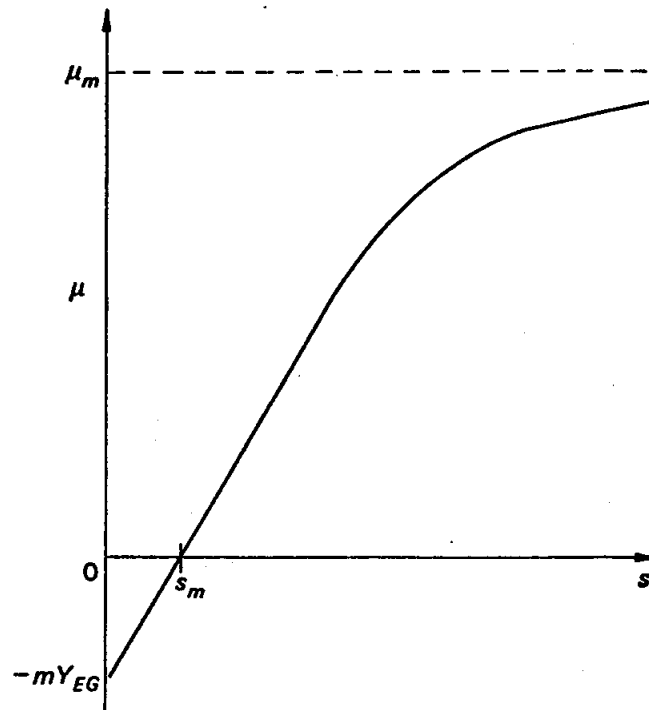
ให้  $s = s_m$  เมื่อ  $\mu = 0$  ในสมการที่ 8.19 จะได้ว่า

$$s_m = m K_s Y_{EG} / (\mu_m - m Y_{EG}) \quad 8.21$$

และเมื่อ  $s = 0$

$$\mu = -m Y_{EG} \quad 8.22$$

เส้นกราฟที่ไซแทนสมการที่ 8.19 ใกล้เคียงไว้ในรูปที่ 8.2



รูปที่ 8.2 Relation (Eqn 8.19) between specific growth rate ( $\mu$ ) and concentration of energy source ( $s$ ) when there is a constant maintenance coefficient ( $m$ ).

ตามแบบอย่างดังกล่าวอาจสรุปได้ว่าอัตราความเร็วในการเจริญเติบโตสูงสุดจะลดลงถ้ายังมีความต้องการพลังงานเพื่อการทำนุบำรุงอยู่ และอัตราความเร็วในการเจริญเติบโตจะกลายเป็นศูนย์ที่ความเข้มข้นจำกัดอีกอันหนึ่ง ( $s_m$ ) ของชีวมวลหรือพลังงาน การเบี่ยงเบนของสมการที่ 8.19 จากสมการที่ 2.21 จะสำคัญยิ่งถ้า  $m$  มีค่ามาก การตรึงไนโตรเจนของ Azotobacter ในสถานะที่มีส่วนความดันออกซิเจนสูง (high oxygen partial-pressure) ก็อาจเป็นกรณีหนึ่งในที่นี้

#### 8.4.2 ผลต่อการเจริญเติบโตในการหมักแบบคงที่ทางเคมี

ความต้องการพลังงานเพื่อการทำนุบำรุงมีความสำคัญต่อการปรับปรุงพหุคูณเชิงปริมาณของการหมักแบบคงที่ทางเคมี สำหรับอัตราความเร็วในการเจริญเติบโตก็ยังคงกำหนดได้ว่า

$$dx/dt = (\mu - D)x$$

8.23

แต่ถ้าแหล่งพลังงานเป็นซับสเตรทที่กำหนดจากอัตราการเจริญเติบโตจะได้ว่า

$$ds/dt = D(s_r - s) - \mu x / Y_{EG} - mx \quad 8.24$$

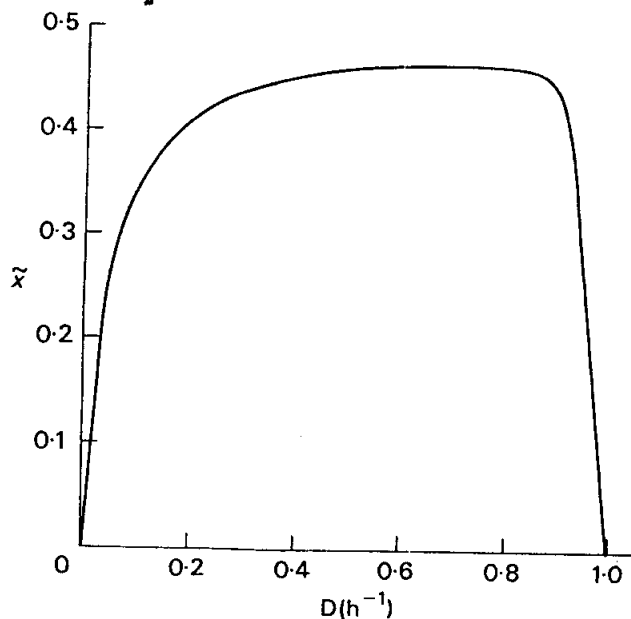
แทนค่าสำหรับ  $\mu$  ในสมการที่ 8.19 เมื่ออยู่ในสถานะมั่นคงคือเมื่อ  $dx/dt = ds/dt = 0$  และ  $\mu = D$  จะได้ว่า

$$\bar{s} = (D + mY_{EG})K_s / (\mu_m - mY_{EG} - D) \quad 8.25$$

และในสมการที่ 8.24 จะได้ว่า

$$\bar{x} = DY_{EG}(s_r - \bar{s}) / (D + mY_{EG}) \quad 8.26$$

ผลของความต้องการพลังงานเพื่อการห่า่นำรุ่งต่อสถานะมั่นคงของชีวมวลในการหมักแบบคงที่ทางเคมีได้แสดงไว้ในรูปที่ 8.3



รูปที่ 8.3 Steady-state biomass concentration ( $\bar{x}$ ) as a function of dilution rate ( $D$ ) in a chemostat when there is a maintenance requirement for the growth-limiting substrate:  $\mu_m = 1.0 \text{ h}^{-1}$ ,  $K_s = 0.005 \text{ g l}^{-1}$ ,  $s_r = 1.0 \text{ g l}^{-1}$ ,  $Y_{EG} = 0.5 \text{ g biomass (g substrate)}^{-1}$ ,  $m = 0.08 \text{ g substrate (g biomass.h)}^{-1}$ .

#### 8.4.3 ผลต่อการเจริญเติบโตในการหมักแบบเก็บกัก

ผลของความต้องการพลังงานเพื่อการห่า่นำรุ่งสำหรับซับสเตรทที่กำหนดจากอัตราการเจริญเติบโตในการหมักแบบเก็บกักจะลดค่า  $\mu$  ลง (จากการห่า่นำโดยสมการที่ 8.19) และลดพืชผลการเจริญเติบโต ปริมาณของแหล่งพลังงานที่ใช้ในช่วงระหว่างเวลา  $t$

จะถูกกำหนดได้เป็น

$$\Delta S_E = (x - x_0)/Y_{EG} + m \int_{x_0}^x x dt \quad 8.27$$

$x_0$  และ  $x$  คือชีวมวลที่เวลา 0 และ  $t$  ตามลำดับ โดยการตรวจสอบค่า  $\Delta S_E$  ที่สองอัตรา  
ความเร็วในการเจริญเติบโตแตกต่างกันแล้วประเมินค่าอินทิเกรตจากกราฟวิเคราะห์ค่า  
หรือจากกราฟก็จะทำให้สามารถตรวจสอบหาค่า  $m$  ได้ Monod (1942) ได้ใช้วิธีการนี้ตรวจสอบ  
หาค่า  $m$  สำหรับ Escherichia coli ซึ่งเปลี่ยนแปลงค่า  $\mu$  ได้โดยจำกัดการให้อากาศ  
พบว่าเมื่อใช้แอลกอฮอล์เป็นแหล่งพลังงาน  $m$  มีค่าเท่ากับศูนย์ ความล้มเหลวในการตรวจสอบ  
พลังงานเพื่อการหาค่า  $m$  บางที อาจเนื่องมาจากอัตราความเร็วในการเจริญเติบโตแตกต่างกัน  
น้อยมาก หรือเนื่องจากพืชผลพลังงานในรูปเอทีพีเพิ่มขึ้นเมื่อการให้อากาศถูกจำกัดจน  
กระทั่งปิดบังพลังงานเพื่อการหาค่า  $m$

### 8.5 พืชผลหรือประสิทธิภาพการผลิตพลังงานในรูปเอทีพี (ATP yield)

Bauchop และ Elsdén (1960) ได้กำหนดพืชผลหรือประสิทธิภาพการผลิต  
พลังงานในรูปเอทีพี ( $Y_{ATP}$ ) ของชีวมวลไว้ดังนี้

$$Y_{ATP} = MY_E/n \quad 8.28$$

$n$  = จำนวนโมล (mole) ของเอทีพีที่สิ่งมีชีวิตได้จากการเมตาโบลิซึมหนึ่งโมลของแหล่ง  
พลังงาน  $M$  = น้ำหนักโมเลกุล (กรัม) ของแหล่งพลังงาน และ  $MY_E$  คือพืชผลหรือประสิทธิภาพ  
ในการเจริญเติบโตเป็นโมลาร์ (molar growth yield) เมื่อ  $Y_E$  ถูกแสดงออกเป็นกรัม  
ของชีวมวลแห้ง/กรัมของแหล่งพลังงาน Bauchop และ Elsdén พบว่า  $Y_{ATP}$  มีค่า  
ประมาณ 10.5 และขึ้นอยู่กับธรรมชาติของสิ่งมีชีวิตและสิ่งแวดล้อม ลักษณะเช่นนี้ก็เป็นไป  
ตามสมการที่ 8.28 ซึ่งปริมาณของแหล่งพลังงานที่ต้องการเพื่อสังเคราะห์ชีวมวลจำนวนหนึ่ง  
ควรเป็นส่วนโดยตรงต่อจำนวน ( $n$ ) โมลของเอทีพีที่เกิดขึ้นต่อโมลของแหล่งพลังงาน  
ปัจจัยซึ่งมีอิทธิพลต่อการเกิดเอทีพี เช่น ปฏิกริยาออกซิเดทีฟฟอสฟอริเลชันที่ไม่ควบคุม หรือ  
การเปลี่ยนแปลงเส้นทางเมตาโบลิซึมจะมีอิทธิพลต่อ  $Y_E$  อีกทั้งพลังงานเพื่อการหาค่า  $m$   
จะมีผลต่อ  $Y_{ATP}$  โดยมีผลต่อ  $Y_E$  ทั้งแสดงในสมการที่ 8.19 ดังนั้นค่าสูงสุดของ  $Y_{ATP}$  คือ  
 $Y_{ATP}^{max}$  ถูกกำหนดได้โดยความสัมพันธ์ต่อไปนี้ซึ่งได้เปลี่ยนแปลงมาจากสมการที่ 8.11 คือ

$$q_{ATP} = \frac{\mu}{Y_{ATP}^{max}} + m_{ATP} = \frac{\mu}{Y_{ATP}} \quad 8.29$$





## 8.6 สภาวะที่มีผลต่อการเมตาโบลิซึมของซีสเทรคคาร์บอนและพลังงาน

เส้นทางการเมตาโบลิซึม ผลผลิตสุดท้าย และพืชผลหรือประสิทธิภาพในการผลิตเอทีพีจากการเมตาโบลิซึมของแหล่งพลังงานและธาตุคาร์บอนอาจได้รับอิทธิพลจากความเข้มข้นของออกซิเจนที่ละลาย ค่าพีเอช อุณหภูมิ ความแรงไอออน (ionic strength) และการขาดแคลนธาตุรองต่าง ๆ (trace element deficiency) การเมตาโบลิซึมของแหล่งพลังงานและธาตุคาร์บอนยังได้รับผลจากอัตราความเร็วในการเจริญเติบโตเฉพาะ และขึ้นอยู่กับว่าแหล่งธาตุคาร์บอนนั้น เป็นสิ่งกำหนดจำกัดการเจริญเติบโตหรือมีมากเกินไป

อัตราความเร็วในการเจริญเติบโตเฉพาะมีผลต่อการหมักน้ำตาลกลูโคสโดย Lactobacillus casei (De Vries et al., 1970) คือที่อัตราความเร็วในการเจริญเติบโตต่ำจะโคอะซีเทต พอร์เมตและอีทานอลเป็นผลผลิตสุดท้าย ส่วนที่อัตราความเร็วในการเจริญเติบโตสูงน้ำตาลกลูโคสจะถูกหมักให้เป็นกรดแลคติกทั้งหมด การใช้น้ำตาลกลูโคสภายใต้สภาวะที่มีแกสออกซิเจนโดย Klebsiella aerogenes และมีไนโตรเจนจำกัด Tempest และคณะ (1967) พบว่ามี  $\alpha$ -ketoglutarate เกิดขึ้นเป็นจำนวนมากที่อัตราความเร็วในการเจริญเติบโตซึ่งค่ามากแต่จะไม่เกิดขึ้นที่อัตราความเร็วในการเจริญเติบโตสูง

เมื่อ K. aerogenes ถูกจัดเตรียมให้มีน้ำตาลกลูโคสและออกซิเจนมากเกินไป จะมีการสะสมไพรูเวตเป็นจำนวนมาก แต่เมื่อมีน้ำตาลกลูโคสจำกัดจุลินทรีย์จะเปลี่ยนแปลงแหล่งธาตุคาร์บอนทั้งหมดอย่างเหมาะสมไปเป็นชีวมวลและคาร์บอนไดออกไซด์ (Harrison & Pirt, 1967) Aerobacter cloacae เมื่อถูกจัดเตรียมให้มีน้ำตาลกลูโคสและออกซิเจนมากเกินไปจะมีการสะสมอะซีเทต (Pirt, 1957) ดังนั้นจึงปรากฏว่าเมื่อแบคทีเรียถูกจัดเตรียมให้มีแหล่งพลังงานและคาร์บอนมากเกินไปและมีออกซิเจนมากเกินไป จะมีการออกซิเดชันที่ไม่สมบูรณ์เกิดขึ้นได้ เช่นเดียวกันกับเมื่อแหล่งพลังงานถูกจัดเตรียมให้มีมากเกินไปอาจถูกเก็บสะสมไว้เป็นแหล่งพลังงานสำรองประกอบเป็นองค์ประกอบส่วนหนึ่งจำนวนค่อนข้างมากในน้ำหนักชีวมวลแห้ง (Wilkinson & Munro, 1967)

### 8.7 การใช้แหล่งธาตุคาร์บอนหลายแหล่งปะปนกัน

มีบ่อยครั้งที่เกี่ยวกับการหมักแบบ เก็บกักก็มีแหล่งธาตุคาร์บอนหลายแหล่งปะปนกัน แต่ถูกใช้ทางกันเป็นลำดับ ตัวอย่าง เช่น ใช้น้ำตาลกลูโคสก่อนนำตาลแลคโตสโดย Escherichia เป็นคน (Monod, 1942) ทั้งนี้เนื่องจากการใช้ซีสเตรคอย่างหนึ่ง อาจถูกยับยั้งได้โดยซีสเตรคอีกอย่างหนึ่งอันเป็นผลเนื่องมาจากการสกัดยับยั้งการสังเคราะห์ เอนไซม์และการยับยั้ง เอนไซม์ permease (Miles & Pirt, 1973)

ในการหมักแบบคงที่ทางเคมีเมื่อใช้แหล่งธาตุคาร์บอนสองแหล่งผสมกันและการเจริญเติบโตถูกกำหนดจำกัดด้วยธาตุคาร์บอน ซีสเตรคทั้งสองอาจถูกใช้ไปพร้อมกันตลอดช่วงของอัตราการความเร็วในการเจริญซึ่งกว้างมาก ตัวอย่าง เช่น กลูโคสกับแลคโตส โดย Klebsiella aerogenes (Baidya et al., 1967) กลูโคสกับมอลโตส โดย K. aerogenes (Harte & Webb, 1972) และกลูโคสกับไซโลสโดย Escherichia coli (Standing et al., 1972) เมื่อแหล่งธาตุคาร์บอนไม่ใดเป็นสิ่งกำหนดจำกัดการเจริญเติบโต ตัวอย่าง เช่น เมื่อธาตุไนโตรเจน เป็นสิ่งกำหนดจำกัดการเจริญเติบโตว่า จุลินทรีย์ชอบที่จะใช้แหล่งธาตุคาร์บอนแหล่งเดียวมากกว่า กรณีเช่นนี้ไดแกอะซีเตคมีถูกใช้ก่อนนำตาลกลูโคสโดย Pseudomonas สปีชีต่าง ๆ (Ng & Dawes, 1973) ทั้ง ๆ ที่แหล่งธาตุคาร์บอนทั้งสองนี้อาจถูกใช้พร้อมกันได้เมื่อเชื้อจุลินทรีย์ถูกจำกัดการเจริญเติบโตด้วยธาตุคาร์บอน

### 8.8 การจัดเตรียมคาร์บอนไดออกไซด์เพื่อการหมัก

ความต้องการคาร์บอนไดออกไซด์มีจุดประสงค์สองประการ คือ (1) เป็นแหล่งธาตุคาร์บอนสำหรับอโคโทรฟิกแบคทีเรียและสาหร่าย (2) เป็นสารระหว่างกลางที่จำเป็นสำหรับขบวนการ เมตาโบลิซึมของสิ่งมีชีวิตทุกชนิด ดังนั้นคาร์บอนไดออกไซด์จึงต้องปรากฏอยู่ในสื่อกลางการหมักทุกอย่าง

ความเข้มข้นของคาร์บอนไดออกไซด์ที่ละลายขึ้นอยู่กับความสมดุลระหว่างคาร์บอนไดออกไซด์ที่ผลิตขึ้นและที่ถูกกำจัดออกโดยการถ่ายเทจากวัฏภาค (phase) ของเหลวไปยังวัฏภาคแก๊ส ทั้งนี้สำหรับการหมักแบบเก็บกักจะได้ว่า

$$\text{accumulation rate } (R) = \text{production rate} - \text{rate of transfer from liquid to gas}$$

นั่นก็คือ

$$R = q_{\text{CO}_2}x - K_L a(c - c_s) \quad 8.30$$

ซึ่ง  $K_L$  คือค่าคงที่,  $a$  = พื้นผิวประจิมระหว่างแก๊สกับของเหลวต่อหน่วยปริมาตร,  $c$  = ความเข้มข้นที่แท้จริงของคาร์บอนไดออกไซด์ที่ละลาย,  $c_s$  = ความเข้มข้นของคาร์บอนไดออกไซด์ที่ละลายในภาวะสมดุลกับวัฏภาคแก๊ส (ให้เปรียบเทียบกับการถ่ายเทออกซิเจนในตอนที่ 9.6.1) ใส่ค่า  $H$  สำหรับ Henry's constant และ  $p_i$  กับ  $p_g$  สำหรับส่วนความดัน (partial pressure) ของแก๊สคาร์บอนไดออกไซด์ในวัฏภาคของเหลวและวัฏภาคแก๊สตามลำดับ สมการที่ 8.30 จะกลายเป็น

$$R = q_{\text{CO}_2}x - K_L a H(p_i - p_g) \quad 8.31$$

ถ้าไม่มีการผลิตคาร์บอนไดออกไซด์ ซึ่งก็คือ  $q_{\text{CO}_2} = 0$  ทั้งนี้จึงจำเป็นต้องเติมคาร์บอนไดออกไซด์ลงไปในวัฏภาคแก๊สจึงได้ว่า  $p_g > p_i$  สำหรับการหมักแบบคงที่ทางเคมีจำเป็นต้องเติมทางขวามือของสมการที่ 8.30 ควบคู่กับ  $-Dc$  หมายถึงการล้างออกไปของคาร์บอนไดออกไซด์ที่ละลายอย่างไรก็ตามค่านี้อาจถูกละทิ้งได้ ทั้งนี้เมื่ออยู่ในสถานะมั่นคงคือเมื่อ  $R = 0$  จากสมการที่ 8.31 จะได้ว่า

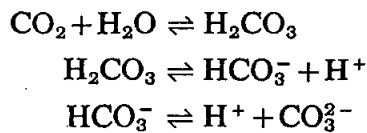
$$\bar{p}_i = \bar{p}_g + q_{\text{CO}_2}x / K_L a H \quad 8.32$$

การควบคุมคาร์บอนไดออกไซด์ที่ละลายแบบอัตโนมัติโดยใช้คาร์บอนไดออกไซด์อิเล็กทรอนิกส์ได้รับความสำเร็จโดย Ishizaki และคณะ (1973)

## 8.9 ความสมดุลระหว่างคาร์บอนเนตกับคาร์บอนไดออกไซด์

คาร์บอนไดออกไซด์ในสารละลายมีการรวมตัวกับน้ำได้เป็นกรดคาร์บอนิกซึ่งอาจ

แตกตัว เป็นไบคาร์บอเนตและคาร์บอเนตไอออนได้ดังนี้



ความเข้มข้นทั้งหมดของคาร์บอนไดออกไซด์ที่ละลาย  $S$  คือผลรวมความเข้มข้นของคาร์บอนไดออกไซด์และกรดคาร์บอนิก จะได้ว่า

$$S = [\text{CO}_2] + [\text{H}_2\text{CO}_3] = \text{HPCO}_2 \quad 8.33$$

ในวงเล็บเหลี่ยมหมายถึงความเข้มข้น และ  $P\text{CO}_2$  คือส่วนความดันของคาร์บอนไดออกไซด์ที่ละลาย ค่า  $H$  สำหรับคาร์บอนไดออกไซด์ซึ่งละลายน้ำที่ 30°C คือ 0.030 mol/atm จะเห็นได้ว่าค่านี้สูง เป็นสามสิบเท่าของออกซิเจน สำหรับค่าคงที่ในการแตกตัวเป็นไอออน (ionization constant) ของ  $\text{H}_2\text{CO}_3$  จะได้ว่า

$$K_1 = \frac{[\text{H}^+][\text{HCO}_3^-]}{S} = 10^{-6.3} \text{ at } 30^\circ\text{C} \quad 8.34$$

ดังนั้น

$$\log [\text{HCO}_3^-] = \log S + \text{pH} - \text{p}K_1 \quad 8.35$$

ซึ่ง  $\text{p}K_1 = -\log K_1$  สำหรับการแตกตัวเป็นไอออน (ionization) ของ  $\text{HCO}_3^-$  จะได้ว่า

$$K_2 = \frac{[\text{H}^+][\text{CO}_3^{2-}]}{[\text{HCO}_3^-]} = 10^{-10.3} \text{ at } 30^\circ\text{C} \quad 8.36$$

ดังนั้น

$$\log [\text{CO}_3^{2-}] = \log [\text{HCO}_3^-] + \text{pH} - \text{p}K_2 \quad 8.37$$

สำหรับความเข้มข้นซึ่งแน่นอนควรแทนค่าด้วยค่าความไว (activity) อย่างไรก็ตาม เพื่อจุดประสงค์ในที่นี้ถือว่าสัมประสิทธิ์ความไว (activity coefficient) ต่าง ๆ เป็นอันหนึ่งอันเดียวกัน การคำนวณหาความเข้มข้นของไบคาร์บอเนตและคาร์บอเนตไอออนที่ค่าพีเอชต่าง ๆ โดยมี  $P\text{CO}_2$  ที่  $10^{-2}$  บรรยากาศได้ให้ไว้ในตารางที่ 8.5 ที่ค่าพีเอช 10 คู่มือนิวว่า  $P\text{CO}_2$  ในเชื้อจุลินทรีย์สามารถถูกรักษาไว้ได้ที่  $10^{-2}$  บรรยากาศเนื่องจากมีไบคาร์บอเนตเข้มข้นสูงมาก

ตารางที่ 8.5 The concentrations of bicarbonate and carbonate ions at various pH values with carbon dioxide partial pressure at  $10^{-2}$  atm

pH Value	$[\text{HCO}_3^-]$ (M)	$[\text{CO}_3^{2-}]$ (M)
4	$1.50 \times 10^{-6}$	$7.5 \times 10^{-10}$
7	$1.50 \times 10^{-3}$	$7.5 \times 10^{-7}$
10	1.50	$7.5 \times 10^{-4}$

Temperature,  $30^\circ\text{C}$ ; the concentrations were calculated from Eqn 8.35 and 8.37 with  $S=0.03 \times 10^{-2}$  M

### 8.10 อิทธิพลของส่วนความดันแก๊สคาร์บอนไดออกไซด์ต่อการเจริญเติบโตและเมตาโบลิซึม

การศึกษาถึงผลของส่วนความดันแก๊สคาร์บอนไดออกไซด์ต่อการเจริญเติบโตขึ้นอยู่กับปัจจัยต่าง ๆ มากมาย เมื่อเทียบกับการศึกษาถึงผลของการมีหรือไม่มีคาร์บอนไดออกไซด์ ผลจากการทดลองของ Dagley และ Hinshelwood (1938) แสดงให้เห็นว่าความสัมพันธ์ระหว่างอัตราการเร็วในการเจริญเติบโตของ *Klebsiella aerogenes* และ  $P_{\text{CO}_2}$  เป็นไปแบบขยาย (hyperbolic form) โดยที่ครึ่งหนึ่งของอัตราการเร็วสูงสุดในการเจริญเติบโตเกิดขึ้นที่  $P_{\text{CO}_2}$  เท่ากับ  $3 \times 10^{-4}$  บรรยากาศ ซึ่งก็เท่ากับส่วนความดันของแก๊สคาร์บอนไดออกไซด์ในอากาศที่ 1 บรรยากาศ เนื่องจากการละลายของคาร์บอนไดออกไซด์ถูกกำหนดโดย  $S$  ในสมการที่ 8.33 จะได้ว่า  $K_s = 0.9 \times 10^{-5}$  M ซึ่งก็ใกล้เคียงกับค่าของคาร์บอนซัลเฟตโดยทั่วไป อัตราการเร็วในการเจริญเติบโตสูงสุดของ *K. aerogenes* ต่อการ  $P_{\text{CO}_2}$  ประมาณ  $10^{-3}$  บรรยากาศ จากผลการทดลองของ Lowff และ Monod (1947) แสดงให้เห็นว่าอัตราการเร็วในการเจริญเติบโตของ *Escherichia coli* ในสื่อกลางสารอาหารชั้นต่ำของน้ำตาลกลูโคสถูกทำให้ลดต่ำลงเป็นอย่างมากเมื่อ  $P_{\text{CO}_2} = 3 \times 10^{-5}$  atm อย่างไรก็ตามผลเช่นนี้อาจถูกยับยั้งได้โดยการเติม  $10^{-4}$  M ของกลูตาเรต ซักซิเนต แอสปาราจิน หรือกลูตาเมต ซึ่งสารอย่างหลังนี้ให้ผลที่สูงสุดต่อการเจริญเติบโตก็ดูเหมือนว่าจะหยุดลงเมื่อ  $P_{\text{CO}_2} = 6 \times 10^{-6}$  atm และไม

สามารถทำให้กลับคืนมาได้โดยการเก็บสารต่าง ๆ ลงไปจึงคล้ายกับว่าสารที่ใช้เพิ่มเติมลงไปนั้นไม่สามารถใช้ทดแทนคาร์บอนไดออกไซด์ได้ทั้งหมดเพียงแต่ทำหน้าที่เป็นสารสำรองของคาร์บอนไดออกไซด์เท่านั้น

$PCO_2$  ยังได้เคยถูกเสนอด้วยว่าสามารถเป็นสิ่งวิกฤตสำหรับการทำงานของจุลินทรีย์นอกเหนือไปจากการเจริญเติบโตโดยทั่วไป (Wimpenny, 1969) แต่จากหลักฐานโดยทั่วไปสำหรับผลเช่นนี้ยังไม่ได้ถูกทำให้แน่ใจมากนัก ในแง่ซึ่งแตกต่างออกไป Ishizaki และคณะ (1973) ได้ใช้เครื่องมืออัตโนมัติควบคุมความเข้มข้นของคาร์บอนไดออกไซด์ที่ละลายพบว่าการผลิตอินซูลินที่สูงเกินกว่าปกติของ *Bacillus subtilis* ถูกยับยั้งโดยอย่างรุนแรงโดย  $PCO_2 > 0.03$  atm นอกจากนี้ผลจากการทดลองต่าง ๆ ยังชี้ด้วยว่าคาร์บอนไดออกไซด์เป็นสิ่งที่ยับยั้งได้ดีกว่าไบคาร์บอเนตไอออน

#### 8.11 การใช้ไฮโดรคาร์บอนเป็นแหล่งพลังงานและธาตุคาร์บอน

เนื่องจากไฮโดรคาร์บอนเป็นสารประกอบซึ่งมีจำนวนมากและราคาถูกจึงกลายเป็นขีบสเตรทที่สำคัญในการหมักเพื่อผลิตโปรตีน เซลล์เคียว และเพื่อเปลี่ยนแปลงให้เป็นผลผลิตซึ่งมีค่ามากขึ้นอย่างอื่น ๆ ลักษณะเด่นของไฮโดรคาร์บอนในแง่ที่เป็นขีบสเตรทคือการไม่ละลายน้ำ การละลายของ n-alkane จะสูงขึ้นถึงประมาณ 60 มก./ลิตร เมื่อความยาวของเส้นโมเลกุลเริ่มตั้งแต่  $C_2$  ถึง  $C_4$  แล้วจะลดลงตามลำดับเมื่อความยาวของเส้นโมเลกุลมีมากขึ้นถึงสมการที่ 8.38

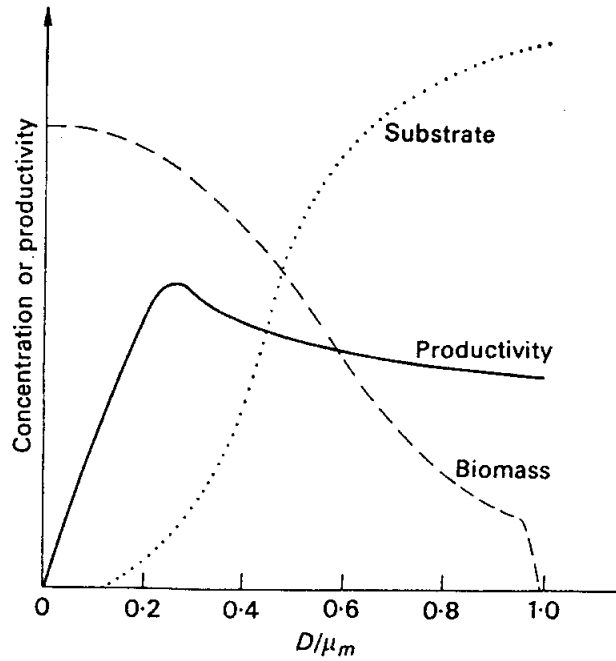
$$\log H = 4.526 - 0.588n \quad 8.38$$

$H$  คือความสามารถในการละลายเป็น มก./ลิตร และ  $n$  คือจำนวนอะตอมของธาตุคาร์บอนในเส้นโมเลกุล (Johnson, 1964) ตารางที่ 8.6 แสดงให้เห็นว่าความสามารถในการละลายของ n-alkane ตกต่ำลงกว่า  $10^{-5}M$  ที่อุณหภูมิ

ตารางที่ 8.6 Solubility of *n*-alkanes in water at 25°C (Data from Johnson, 1964)

<i>n</i> -Alkane	Concentration of saturated solution (M)
Hexane	$1.1 \times 10^{-4}$
Heptane	$2.6 \times 10^{-5}$
Octane	$5.8 \times 10^{-6}$
Decane	$3.1 \times 10^{-7}$
Dodecane	$1.7 \times 10^{-8}$
Tetradecane	$9.8 \times 10^{-10}$

เนื่องจากโดยทั่วไปค่า  $K_s$  สำหรับแหล่งพลังงานและธาตุคาร์บอนคือ  $> 10^{-5}$  M (ตารางที่ 2.1) แต่ดูเหมือนว่าไม่น่าจะเป็นไปได้สำหรับไฮโดรคาร์บอนชั้นสูง (โมเลกุลใหญ่) ซึ่งไฮโดรคาร์บอนที่ละลายไม่อาจถูกใช้ได้อย่างรวดเร็วเพียงพอเพื่อให้ได้อัตราความเร็วในการเจริญเติบโตเฉพาะที่มากกว่า  $0.2 \text{ h}^{-1}$  Johnson (1964) ได้คำนวณจากการแพร่กระจายพิจารณาว่าแม้แต่เพียงที่ค่า Michaelis constant เท่ากับศูนย์ก็ยังไม่อาจทำให้ได้อัตราความเร็วในการเจริญเติบโตสูงขึ้นจนเป็นที่น่าพอใจได้โดย dodecane และไฮโดรคาร์บอนที่มีน้ำหนักโมเลกุลสูงกว่านี้จนกว่าจะมีกลไกการพิเศษเพื่อดึงเอาซิมสเตรกเซวไปใช้ กลไกการพิเศษปรากฏว่ามีการใช้ไฮโดรคาร์บอนโดยตรงจากวัฏภาคน้ำมัน (oil phase) ดังนั้นขนาดของหยกน้ำมันและพื้นผิวระหว่างน้ำกับน้ำมันจึงเป็นปัจจัยสำคัญที่มีอิทธิพลต่ออัตราความเร็วในการเจริญเติบโต (Humphrey & Erickson, 1972) ที่สำคัญก็คือด้วยสารประกอบ alkane ชั้นสูงอัตราความเร็วในการเจริญเติบโตในท้ายที่สุดจะถูกกำหนดจากที่โดยพื้นผิวระหว่างน้ำกับน้ำมันและถูกสะท้อนให้เห็นได้โดยการเจริญเติบโตเป็นเส้นตรงที่เริ่มขึ้นในการหมักแบบเก็บกัก แบบจำลองต่าง ๆ สำหรับหมักแบบคงที่ทางเคมีของจุลินทรีย์ต่อการใช้น้ำมันซึ่งไม่ละลายน้ำโดยการนำเอาไฮโดรคาร์บอนจากน้ำมันโดยตรงเข้าไปในเซลล์ได้ถูกรวบรวมโดย Humphrey และ Erickson (1972) รูปที่ 8.4 แสดงถึงผลที่คาดหวังไว้จากการหมักในสารประกอบไฮโดรคาร์บอนด้วยอัตราความเร็วในการเจริญต่าง ๆ กันเมื่ออยู่ในสภาวะคงที่ทางเคมี Humphrey และ Erickson ได้สรุปผลไว้ดังต่อไปนี้



รูปที่ 8.4 Generalized representation of effects of dilution rate on biomass concentration, substrate (hydrocarbon) concentration and productivity, that is biomass output rate:  $D$ =dilution rate,  $\mu_m$ =maximum specific growth rate (redrawn from Humphrey & Erickson, 1972) for growth on hydrocarbons.

(1) ในระบบการหมักแบบต่อเนื่องซึ่งมีวัฏภาคที่ต้องถูกทำให้กระจายตัวอยู่ตลอดเวลาโดยทั่วไปจะทำให้ได้อัตราการใช้ประโยชน์จากซับสเตรตต่ำมาก เว้นแต่ที่อัตราความเร็วในการเจือจางต่ำเท่านั้น (2) ความเข้มข้นของเซลล์ถูกทำให้ลดลงได้อย่างรวดเร็วด้วยอัตราความเร็วในการเจือจางต่าง ๆ ที่สูงขึ้น ปรากฏการณ์นี้ได้รับการยืนยันโดยผลการทดลองของ Munk และคณะ (1973) (3) ความสามารถในการผลิตที่เหมาะสม ( $D\bar{x}$ ) จะไม่อาจเกิดขึ้นได้ที่ใกล้กับสภาวะการล้างออกแต่จะเกิดขึ้นได้ที่สภาวะค่อนข้างใกล้กับค่าต่ำสุดของ  $D/\mu_{max}$  โดยทั่วไปจะอยู่ในช่วง 0.2 ถึง 0.4

จากการเปรียบเทียบพีชคณิตหรือประสิทธิภาพในการเจริญเติบโตจากไฮโดรคาร์บอนที่ใช้เป็นซับสเตรต (ตารางที่ 8.2) แสดงให้เห็นว่าการเปลี่ยนแปลงธาตุคาร์บอนไปเป็นชีวมวลได้พีชคณิตประมาณใกล้เคียงกันกับการใช้ซับสเตรตอย่างอื่นแต่อย่างไรก็ตามขอ



แตกต่างกันที่สำคัญระหว่างการ เจริญเติบโตในไฮโดรคาร์บอนและการ เจริญเติบโตในคาร์โบไฮเดรตคือการ เจริญเติบโตในไฮโดรคาร์บอนต้องการออกซิเจนมากกว่า (ตอนที่ 9.2) พิษผลหรือประสิทธิภาพในการ เจริญเติบโตจากไฮโดรคาร์บอนอาจถูกทำให้เพิ่มขึ้นได้เป็นอย่างมากโดยการหมักแบบเก็บกักที่มีการเติมซัพสเตรค (fed batch culture) ดังในตอนที่ 21.1 ควบคุมหาคาร์บอนเป็นสิ่งกำหนดจากรากการ เจริญเติบโตแทนการหมักแบบเก็บกักอย่างง่ายด้วยไฮโดรคาร์บอนที่มีปริมาณมากเกินไป (Yoshida et al., 1973)

#### 8.12 การกระจายตัวของไฮโดรคาร์บอนในสื่อกลางอาหารเหลว

วิธีทางซึ่งสะดวกต่อการเติมไฮโดรคาร์บอนซึ่งลงไปในการหมักคือการใช้ไฮโดรคาร์บอนอื่นที่เจือจางเป็นคว่ำละลาย เช่น ใช้ 2, 6, 10, 14 - tetramethylpentadecane เพื่อละลาย  $C_{20}$  n-alkanes (Johnson, 1964)

สารที่กระทำค่อนข้างดีของของเหลวจะช่วยทำหน้าที่เป็นสิ่งที่ทำให้เกิดอิมัลชัน (emulsion) ถูกใช้เพื่อเพิ่มพื้นผิวระหว่างน้ำกับน้ำมันในเชื้อจุลินทรีย์ สารที่แนะนำเพื่อจุดประสงค์นี้คือ polyoxyethylene (20) oleyl ether (Kobayashi, et al., 1967) และ polyoxyethylene-polypropylene monostearate (Someya et al., 1970) มีหลักฐานแสดงด้วยยีสต์และแบคทีเรียซึ่งใช้ไฮโดรคาร์บอนเป็นอาหารยังสามารถสังเคราะห์สิ่งที่ทำให้เกิดอิมัลชันได้เองอีกด้วย สารเมือกเหนียวที่มีคุณสมบัติในการทำให้เกิดอิมัลชันถูกคัดแยกได้จากเชื้อ Pseudomonas สปีชีส์ต่าง ๆ ที่เจริญเติบโตใน decane (MacLennan & Pirt, 1970) Suzuki และคณะ (1969) ได้คัดแยก trehalose lipid ซึ่งมีคุณสมบัติในการทำให้เกิดอิมัลชันจากเชื้อแบคทีเรียที่เจริญเติบโตอยู่ในไฮโดรคาร์บอน Goma และคณะ (1973) พบว่าเชื้อยีสต์ที่เจริญเติบโตอยู่ใน hexadecane ผลิตภัณฑ์ซึ่งชอบทำให้เกิดอิมัลชันกับ  $C_{16}$  มากกว่า alkane อื่น ๆ คุณสมบัติทางเคมีของสารที่ทำให้เกิดอิมัลชันโดยธรรมชาตินั้นยังคงมีคมน้อยแต่อาจมีความสำคัญมากต่อการ เจริญเติบโตของจุลินทรีย์ในไฮโดรคาร์บอน.